

مطالعه رفتار رئولوژیکی آمیخته سازگار شده پلی استیرن مقاوم در برابر ضربه و پلی اتیلن سنگین

Studies on the Rheological Behavior of Compatibilized HIPS/HDPE Blends

جمال اعلائی^{*}، علیرضا خوش نیت، محمد میرعلی، علی رحمت پور

تهران، پژوهشگاه صنعت نفت، پژوهشکده علوم و تکنولوژی پلیمر، صندوق پستی ۱۸۷۴۵/۴۱۶۳

دریافت: ۸۲/۰۲/۲۴، پذیرش: ۸۲/۱۰/۲۳

چکیده

در این پژوهش، آمیخته هایی از پلی استیرن مقاوم در برابر ضربه (HIPS) و دو نوع پلی اتیلن سنگین (HDPE) تهیه و اثر ترکیب درصد اجزا، نوع پلی اتیلن و سازگاردهنده بر خواص رئولوژیکی آنها مورد ارزیابی قرار گرفت. مطالعات نشان داد که نمودارهای جریان آمیخته ها بین نمودارهای مربوط به پلیمرهای خالص قرار دارد. وابستگی گرانروی به غلظت PE، برای هر دو دسته از آمیخته ها دارای انحراف منفی نسبت به قانون مخلوطها بوده و استفاده از سازگارکننده های مختلف باعث کاهش میزان انحراف منفی می گردد. استفاده از سازگارکننده SEBS باعث افزایش گرانروی آمیخته و تغییر رفتار آن از انحراف منفی به انحراف مثبت می شود.

واژه های کلیدی

آمیخته، پلی اتیلن،
پلی استیرن مقاوم در برابر ضربه،
سازگارسازی، رئولوژی

مقدمه

بهبود مقاومت HIPS در برابر تنشهای محیطی (ESCR) افزایش اندازه ذرات فاز لاستیک موجود در آن است که نیازمند ایجاد تغییرات در فرایند تولید HIPS است [۱، ۲]. روش دیگر تهیه آمیخته HIPS با HDPE است [۳، ۴]، آمیخته تهیه شده با این روش دارای ESCR و برآقت

پلی استیرن مقاوم در برابر ضربه (HIPS) به دلیل کاربردهای متنوع در صنایع مختلف یکی از پرمصرف ترین پلیمرهای است. با این وجود یکی از معایب HIPS مقاومت ضعیف آن در برابر تنشهای محیطی بویژه در مجاورت روغنها، چربیها و مواد پاک کننده است. یکی از روشهای

Key Words

blend, polyethylene,
high impact polystyrene,
compatibilization, rheology

تجربی

مواد

در این پژوهش، برای تهیه آمیخته‌ها رزین پلی استیرین مقاوم در برابر ضربه (HIPS) پتروشیمی تبریز مورد استفاده قرار گرفت. برای مطالعه اثر نوع پلی اتیلن بر رفتار رئولوژیکی، دو نوع پلی اتیلن سنگین (HDPE) از پتروشیمی اراک استفاده شد. مشخصات این مواد در جدول ۱ آمده است. برای سازگارسازی آمیخته‌ها کوپلیمر استیرن - اتیلن - بوتیلن - استیرن (SEBS) با کد تجاری G1650 از شرکت Kraton و کوپلیمراتیلن - وینیل استات (EVA) دارای ۲۸ درصد وینیل استات با کد تجاری EVA2810A از شرکت Markus مورد استفاده قرار گرفت.

دستگاهها

آمیخته‌ها بوسیله دستگاه پلاستوگراف مدل ۲۰۰۰ PL ساخت شرکت برابندر آلمان و برای تعیین خواص رئولوژیکی از رئومتر موین اینسترون مدل ۳۲۱۱ استفاده شد.

روشها

تهیه آمیخته

برای تهیه آمیخته‌ها از دستگاه پلاستوگراف استفاده شد. به اختلاط از نوع رولر (roller)، دمای اختلاط 200°C ، سرعت اختلاط 60 rpm و زمان اختلاط ۸ min بود. برای مطالعه اثر ترکیب درصد اجزا بر رفتار رئولوژیکی، آمیخته‌هایی با درصد های وزنی ۲۰، ۴۰، ۶۰ و ۸۰ از HDPE به روش اختلاط مذاب تهیه شد. همچنین، مقدار ۱۰ درصد وزنی از کوپلیمرهای SEBS و EVA برای سازگارسازی آمیخته‌ها بکار گرفته شد.

خواص رئولوژیکی

برای تعیین خواص رئولوژیکی از رئومتر موین استفاده شد. در این

زیادی بوده و در فرایندهایی نظیر شکل دهنی گرمایی و اکستروژن قابل استفاده است. از جمله کاربردهای این آمیخته می‌توان به آستر داخلی یخچال و فریزر و بسته‌بندی مواد غذایی اشاره کرد.

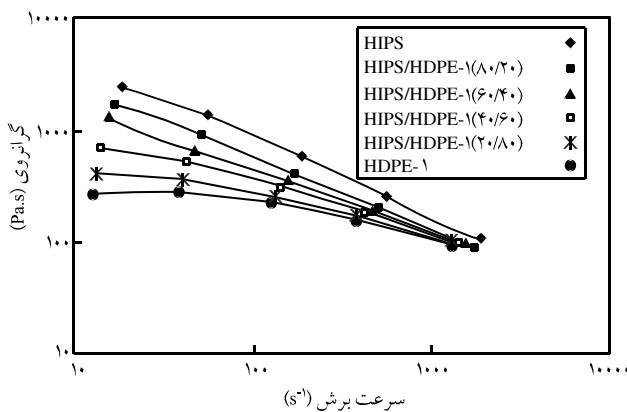
مطالعه خواص آمیخته پلی اتیلن - پلی استیرن نشان می‌دهد که در غیاب سازگارکننده مناسب این آمیخته دارای خواص مکانیکی ضعیف است [۵-۱۰]. به همین دلیل، روش‌های مختلفی برای سازگارسازی این آمیخته مورد استفاده قرار می‌گیرد. عده‌ای از پژوهشگران با افزودن کوپلیمرهایی نظیر استیرن - اتیلن - بوتیلن - استیرن (SEBS)، استیرن - بوتادی ان - استیرن (SBS)، استیرن - ایزوبن - استیرن (SIS) و استیرن - اتیلن - پروپیلن (SEP) باعث سازگاری این آمیخته شده‌اند [۲۵-۳۱]. استفاده از این نوع سازگارکننده‌ها باعث افزایش استحکام کششی، ازدیاد طول تاپارگی، مقاومت در برابر ضربه و چرم مانندی آمیخته پلی استیرن - پلی اتیلن می‌شود. برخی از پژوهشگران نیز برای سازگارسازی این آمیخته ابتدا پلی استیرن را به پلی اتیلن پیوند زده و سپس از این کوپلیمر پیوند خورده به عنوان سازگارکننده استفاده کرده‌اند [۲۹-۲۶].

عده‌ای دیگر از پژوهشگران امواج فرماحت را برای سازگارسازی این آمیخته بکار برد و به این نتیجه رسیدند که در مجاورت امواج فرماحت اندازه ذرات فاز متفرق کوچکتر، توزیع آن باریکتر و برهمنش بین فازهای آمیخته قویتر می‌شود. در نتیجه این سازگارسازی خواص مکانیکی آمیخته بهبود یافته، فشار حدیده کاهش می‌یابد [۳۰]. بطور کلی، مطالعات نشان می‌دهد که استفاده از یک روش سازگارسازی برای رسیدن به خواص خوب لازم است. با وجود مطالعات گسترده‌ای که روی خواص مکانیکی آمیخته سازگار شده پلی استیرن - پلی اتیلن انجام گرفته است توجه کمتری به مطالعه رئولوژی این نوع آمیخته شده است [۳۳-۳۱]. با توجه به اهمیت موضوع و عدم وجود اطلاعات مدون در این زمینه، در این پژوهش ابتدا خواص رئولوژیکی آمیخته‌های سازگارشده HDPE/HIPS مطالعه شده و سپس اثر روش‌های مختلف سازگارسازی بر رفتار رئولوژیکی این آمیخته مورد ارزیابی قرار گرفته است.

جدول ۱ - مشخصات مواد مورد استفاده در این پژوهش.

نام ماده	نام اختصاری	کد تجاری	مذاب (الف)	شاخص جریان (g/10min)	چگالی (g/cm ³)
پلی استیرن مقاوم در برابر ضربه	HIPS	HIPS ۸۳۵۰	۵	۱/۰۱	
پلی اتیلن سنگین	HDPE-۱	IRAPOL ۲۱GM۵۷۵۲۰	۱۸	۰/۹۵۷	
	HDPE-۲	IRAPOL ۲۱GM۴۴۰۰۵	۰/۱	۰/۹۶۴	

(الف) به روش ASTM D ۱۳۳۸-۸۶ و (ب) به روش ASTM D ۷۹۲-۶۶ (ج) دما 200°C با وزنه ۵kg و (د) دما 190°C با وزنه ۱۹۰kg.



شکل ۲- تغییرات گرانولاری - سرعت برش آمیخته ۱-HIPS/HDPE-۱.

دیگر تغییر آرایش زنجیرهای مولکولی و دیگری فرایند باز شدن و کاهش چگالی گرهای مولکولی زنجیرهای پلیمری است. هرچه وزن مولکولی پلیمر بیشتر باشد یا با توجه به ارتباط وزن مولکولی پلیمر با MFI آن، هرچه MFI پلیمر کمتر باشد چگالی گرهای مولکولی زنجیرهای آن پلیمر افزایش یافته و میزان کاهش چگالی گرهای مولکولی در اثر افزایش سرعت برش بیشتر می شود که در نتیجه گرانولاری افت بیشتری خواهد داشت [۳۴].

با توجه به مشخصات مواد مورد بحث (جدول ۱) چگالی گرهای مولکولی HDPE-۲ بیشتر از HDPE-۱ بوده و در نتیجه افت گرانولاری HDPE-۲ به مرتب بیشتر از HDPE-۱ است.

در شکل‌های ۲ و ۳ تغییرات گرانولاری - سرعت برش آمیخته‌های HIPS/HDPE-۲ و HIPS/HDPE-۱ رسم شده است. چنان‌که مشاهده می شود نمودارهای جریان آمیخته‌ها بین نمودارهای مربوط به زینهای خالص قرار گرفته است. به عبارت دیگر، با وجود متفاوت بودن مقادیر

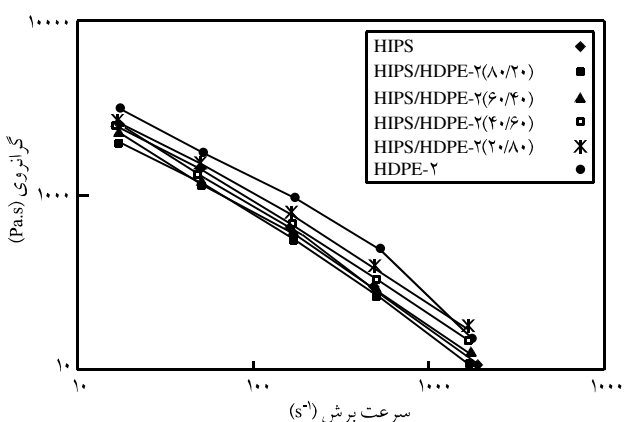
آزمایشها حدیده موین دارای قطر $1/26 \text{ mm}$ و نسبت طول به قطر (L/D) $40/36$ بود. آزمایش‌های رئولوژیکی در سرعت‌های $0/2, 0/6, 0/10, 0/16, 0/20 \text{ cm/min}$ و دمای 20°C انجام شد. برای هر سرعت پس از رسیدن به حالت پایدار نیروی اعمال شده (F) از روی صفحه نمایش دستگاه خوانده شد. خطای دستگاه 2N بود. با توجه به مقادیر سرعت دستگاه و نیروی اعمال شده (F)، تنش برشی در دیواره (σ_w) سرعت برش ($\dot{\gamma}$) و گرانولاری مطلق مذاب مطابق معادله‌های موجود محاسبه شد [۳۴]. با توجه به غیرنیوتونی بودن جریان مذاب پلیمرها، تصحیح رابینویچ (Rabinowitch correction) در تمام محاسبات اعمال شد، ولی با توجه به زیاد بودن مقدار L/D ، از اعمال تصحیح بگلی (Bagley correction) که به آثار انتهایی مربوط است، صرف نظر گردید.

نتایج و بحث

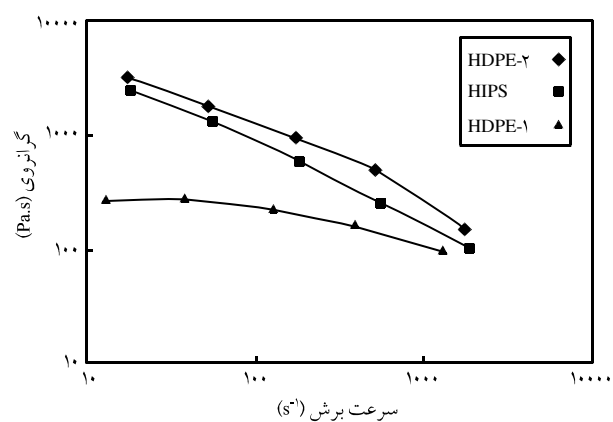
نمودار جریان زینهای خالص و آمیخته‌های سازگار نشده

تغییرات گرانولاری - سرعت برش

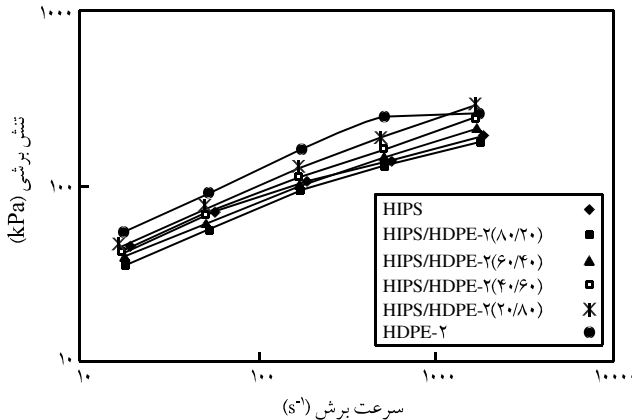
در شکل ۱ تغییرات گرانولاری پلیمرهای خالص با سرعت برش نشان داده شده است. چنان‌که مشاهده می شود پلیمرهای انتخاب شده گرانولاریهای متفاوتی دارند. منحنیهای جریان ۱-HDPE و HDPE-۲ به ترتیب، پائینتر و بالاتر از منحنی مربوط به HIPS قرار گرفته‌اند. برای هر سه پلیمر با افزایش سرعت برش گرانولاری کاهش می‌یابد. مقدار افت گرانولاری در اثر افزایش سرعت برش برای HDPE-۲ و HIPS به مرتب بیشتر از مقدار مربوط به HDPE-۱ است. بطور کلی، کاهش گرانولاری پلیمرها در اثر افزایش سرعت برش از دو عامل عدمه ناشی می شود که یکی تغییر فاصله انتهای زنجیر مولکولهای پلیمری و به عبارت



شکل ۳- تغییرات گرانولاری - سرعت برش آمیخته ۲-HIPS/HDPE-۲.

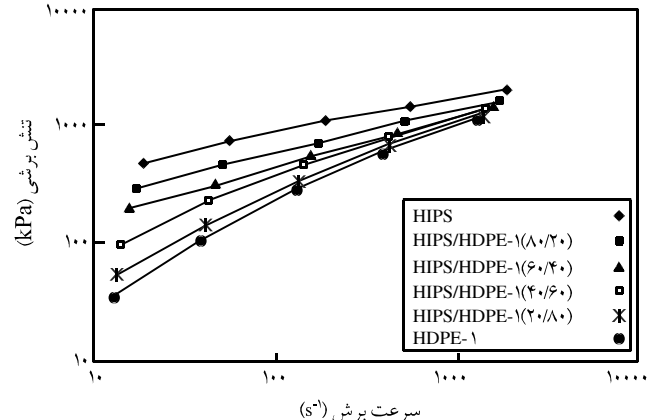


شکل ۱- نمودار جریان زینهای خالص.



شکل ۵ - تغییرات تنش برشی - سرعت برش آمیخته ۲-HIPS/HDPE-۲.

برای هر دو دسته از آمیخته ها دلالت بر آن دارد که با افزایش درصد پلی اتیلن، رفتار آمیخته ۱ HIPS/HDPE-۱ در مقایسه با آمیخته HIPS/HDPE-۲ به رفتار سیالات نیوتونی نزدیکتر می شود که ناشی از کمتر بودن وزن مولکولی HDPE-۱ و نیوتونی تر بودن رفتار آن است.



شکل ۴ - تغییرات تنش برشی - سرعت برش آمیخته ۱-HIPS/HDPE-۱.

گرانروی پلی اتیلن های مورد مطالعه، هر دو دسته از آمیخته ها رفتار مشابهی از خود نشان می دهند. هر چند که در یک سرعت برش ثابت با افزایش درصد پلی اتیلن مقادیر گرانروی برای آمیخته ۱ HIPS/HDPE-۱ کاهش ولی برای آمیخته ۲ HIPS/HDPE-۲ افزایش می یابد.

تغییرات گرانروی - ترکیب درصد
در شکل های ۶ و ۷ تغییرات گرانروی با غلظت آمیخته ها در دو سرعت برش 100 s^{-1} و 500 s^{-1} نشان داده شده است. برای هر دو دسته از آمیخته ها و در هر دو سرعت برش رفتار انحراف منفی نسبت به قانون مخلوطها مشاهده می شود. وابستگی گرانروی مذاب آمیخته های پلیمری به غلظت کاملاً پیچیده بوده و الگوی خاصی در این زمینه وجود ندارد. با توجه به نوع اجزای آمیخته، اثرات متقابل بین آنها و مقدار تنش برشی ممکن است رفتار خطی، با انحراف مثبت، با انحراف منفی، S شکل یا نوعی دیگر مشاهده شود. دسته بندی آمیخته های پلیمری براساس روابط

تغییرات تنش برشی - سرعت برش

در شکل های ۴ و ۵ تغییرات تنش برشی با سرعت برش برای هر دو دسته از آمیخته ها رسم شده است. چنانکه مشاهده می شود برای هر دو دسته از آمیخته ها نمودارهای جریان بین نمودارهای مربوط به پلیمرهای خالص قرار دارند که مشابه تغییرات گرانروی با سرعت برش است. در جدول ۲ مقادیر n و k معادله توانی و همچنین مقادیر ضریب برازش داده ها (r) آورده شده است. با توجه به روند تغییرات نمودارهای تنش برشی - سرعت برش و مقادیر k, n و r می توان نتیجه گرفت که این آمیخته ها از معادله توانی تعیت می کنند. همچنین مقادیر n و k

جدول ۲ - مقادیر n و k معادله توانی و ضریب برازش داده (r) در دمای 200°C .

HIPS/HDPE-۲			HIPS/HDPE-۱			HDPE (wt%)	HIPS (wt%)
r	k	n	r	k	n		
۰/۹۹۳۳	۱۹/۴۳۲۶	۰/۳۱۳۶	۰/۹۹۳۳	۱۹/۴۳۲۶	۰/۳۱۳۶	۰	۱۰۰
۰/۹۹۲۸	۱۳/۷۳۹۳	۰/۳۵۸۹	۰/۹۹۸۷	۱۰/۳۰۷۰	۰/۳۶۷۹	۲۰	۸۰
۰/۹۹۷۰	۱۴/۵۷۷۴	۰/۳۶۸۹	۰/۹۹۹۶	۵/۶۱۴۱	۰/۴۴۶۱	۴۰	۶۰
۰/۹۹۸۰	۱۴/۵۶۱۹	۰/۳۸۷۳	۰/۹۹۵۶	۲/۳۵۶۸	۰/۵۷۴۷	۶۰	۴۰
۰/۹۹۷۵	۱۵/۲۹۲۶	۰/۴۰۲۴	۰/۹۹۶۴	۱/۰۳۳۶	۰/۶۸۷۳	۸۰	۲۰
۰/۹۶۸۰	۲۲/۰۸۷	۰/۳۶۰۸	۰/۹۹۴۴	۰/۵۶۳۲	۰/۷۷۴۸	۱۰۰	۰

اجزای آمیخته در سرعتهای برش بیشتر و درنتیجه کم شدن تفاوت گرانروی اجزای آمیخته است.

مقایسه نتایج حاصل با مدل‌های تجربی

موضوع بحث آوردن یک رابطه مشخص برای تعیین تغییرات گرانروی آمیخته‌های دوفازی با غلظت اجزای آمیخته مسأله پیچیده‌ای است که هنوز توجیهی قطعی برای آن وجود ندارد. توجیهی که بتواند این تغییرات را به گونه‌ای به ساختار شکل‌شناسی حالت مذاب اجزای آمیخته از یک طرف و قوانین ترمودینامیکی از طرف دیگر مرتبط سازد. در اکثر معادله‌های حالت رئولوژیکی (rheological equations of state) فرض می‌شود که ماده مورد مطالعه پیوسته، همگن و همسانگرد است [۳۷]. این فرضها در اغلب سیستمهای چندفازی صادق نیست. به همین دلیل، برای پیش‌بینی رفتار سیستمهای آمیخته و ارتباط دادن خواص این سیستمهای با ترکیب درصد، پژوهشگران زیادی سعی در ارائه مدل‌های تجربی داشته‌اند که به برخی از آنها اشاره می‌شود. کولزینیف و کاندایرین معادله تجربی زیر را برای آمیخته‌های امتزاج ناپذیر پیشنهاد کرده‌اند [۳۷]:

$$\log \eta = \phi_1 \log \eta_1 + [1 - \phi_1] \log \eta_2 \quad (1)$$

تاکانایاگی نیز معادله زیر را برای موقعی که قطره‌های یک فاز در ماتریس فاز دوم پخش شده باشد، ارائه کرده است [۳۷]:

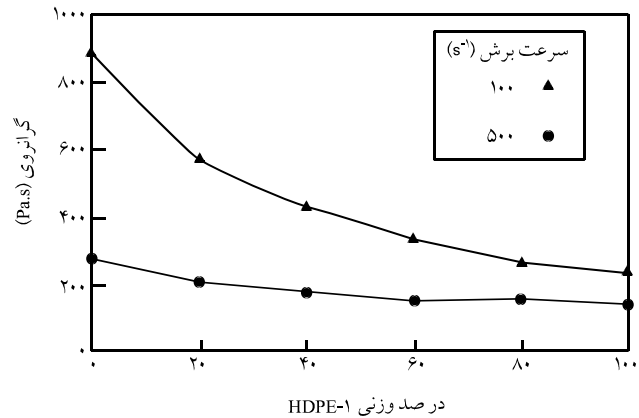
$$\eta = \eta_1 \frac{3\eta_1 + 2\eta_2 - 3[\eta_1 - \eta_2]\phi_2}{3\eta_1 + 2\eta_2 - 2[\eta_1 - \eta_2]\phi_2} \quad (2)$$

معادله هیت مایلرنیز به شکل زیر است [۳۸]:

$$\frac{1}{\eta} = \frac{W}{\eta_1} + \frac{1-W}{\eta_2} \quad (3)$$

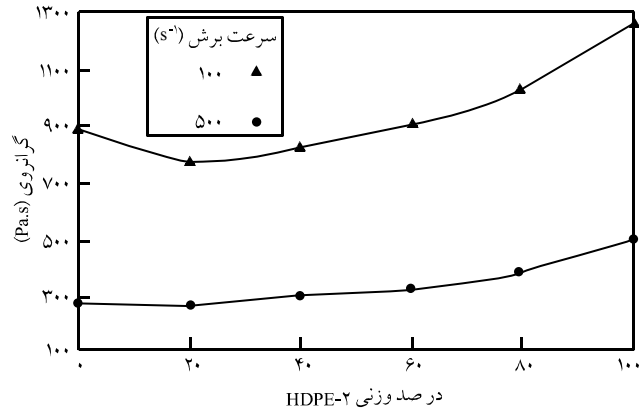
که در این معادلات η گرانروی آمیخته، η_1 و η_2 به ترتیب گرانروی جزء ۱ و ۲ درصد حجمی جزء ۲ و W درصد وزنی جزء ۱ است.

تغییرات گرانروی - ترکیب درصد آمیخته‌های HIPS/HDPE-۱ و HIPS/HDPE-۲ در سرعت برش 100 s^{-1} با نتایج برخی از معادله‌های تجربی به ترتیب در شکلهای ۸ و ۹ مقایسه شده است. همچنان که مشاهده می‌شود بجز با معادله هیت مایلر برای آمیخته ۱- HIPS/HDPE، با هیچ یک از معادله‌ها نمی‌توان نتایج آزمایشگاهی آمیخته‌ها را بطور قابل قبولی پیش‌بینی کرد. این امر را می‌توان به ماهیت

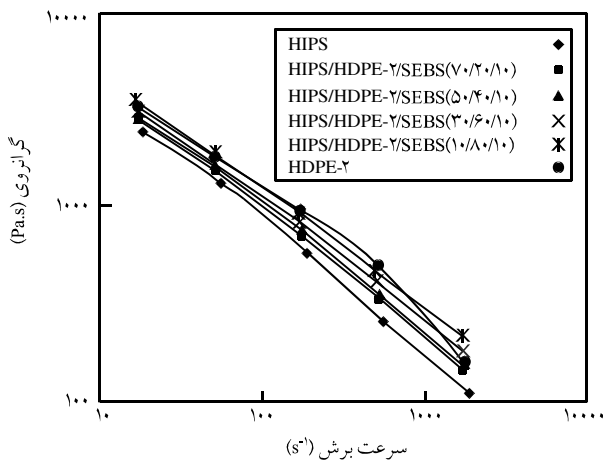


شکل ۶- تغییرات گرانروی - ترکیب درصد آمیخته ۱-HIPS/HDPE-۱

گرانروی - غلظت ضرورتاً مشخص کننده ماهیت شیمیایی آمیخته‌ها نیست، بلکه تا حدودی مکانیسم جریان را در شرایط آزمایش بیان می‌کند. تغییر مقدار تنفس، نوع و مقدار مولکولی اجزا یا دمای آزمایش ممکن است مکانیسم جریان، نوع و مقدار انحراف از قانون مخلوط‌ها را تغییر دهد [۳۵]. عقیده برآن است که جریان آمیخته‌های پلیمری با دو مکانیسم کنترل می‌شود یکی لغزش بین لایه‌ای که عامل انحراف منفی است و دیگری رفتار شبیه امولسیونی که باعث افزایش گرانروی و انحراف مثبت می‌گردد. برایند این دو مکانیسم باعث تنوع پاسخهای رئولوژیکی آمیخته‌های پلیمری می‌شود [۳۶]. با توجه به ناسازگار بودن HIPS با HDPE و عدم وجود برهم‌کنش قوی در سطح مشترک فازهای این دو پلیمر [۹، ۱۱، ۳۲] انحراف منفی مشاهده شده در شکلهای ۶ و ۷ برای آمیخته‌های مورد بحث را می‌توان به لغزش بین لایه‌ای نسبت داد. مقدار انحراف منفی آمیخته‌ها در سرعت برش 100 s^{-1} بیشتر از مقدار مربوط به 500 s^{-1} است که ناشی از باز شدن گرهای مولکولی

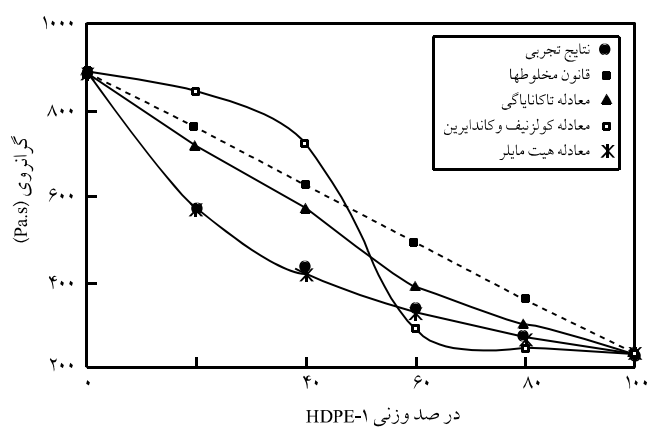


شکل ۷- تغییرات گرانروی - ترکیب درصد آمیخته ۲-HIPS/HDPE-۲

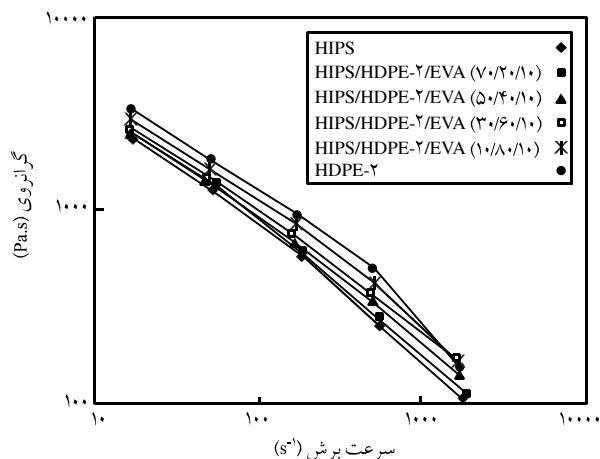


شکل ۱۰ - نمودارهای جریان آمیخته سازگار شده HIPS/HDPE/SEBS.

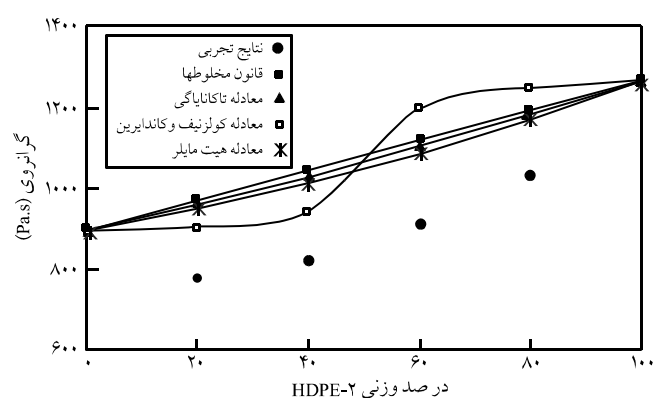
بوتیلن - استیرن (SEBS) و اتیلن - وینیل استات (EVA) استفاده شد. برای مقایسه نتایج آمیخته های سازگار شده، مقادیر این سازگار کننده ها در تمام آمیخته ها ثابت بود (۱۰ درصد وزنی). تغییرات گرانزوی - سرعت برش آمیخته های سازگار شده به وسیله SEBS و EVA به ترتیب در شکل های ۱۰ و ۱۱ آورده شده است. همان طور که مشاهده می شود نمودارهای جریان برای هر دو دسته از آمیخته های سازگار شده بین منحنی های مربوط به HIPS و HDPE-۲ قرار گرفته اند که مشابه رفتار آمیخته های سازگار نشده است. اثر روش های مختلف سازگار سازی بر تغییرات تنفس برشی - سرعت برش آمیخته ها در شکل ۱۲ نشان داده شده است. در این شکل مشاهده می شود که در اثر سازگار سازی آمیخته ها مقادیر تنفس برشی افزایش یافته و نمودارهای جریان آمیخته های سازگار شده بالاتر از نمودارهای مربوط به آمیخته های سازگار نشده قرار گرفته اند. مقدار افزایش تنفس

شکل ۸ - مقایسه نتایج تجربی آمیخته HIPS/HDPE-1 با چند مدل تجربی در سرعت برش 100 s^{-1} .

تجربی این معادله ها از یک طرف و سه جزئی بودن سیستم آمیخته های مورد مطالعه (پلی اتیلن، پلی استیرن و لاستیک پلی بوتا دی ان که در ساختار HIPS وجود دارد) از طرف دیگر، مرتبط دانست.



شکل ۱۱ - نمودارهای جریان آمیخته سازگار شده HIPS/HDPE/EVA.

شکل ۹ - مقایسه نتایج تجربی آمیخته HIPS/HDPE-2 با چند مدل تجربی در سرعت برش 100 s^{-1} .

می توان نتیجه گرفت که کوپلیمر SEBS سازگاری خوبی بین اجزای این آمیخته ایجاد کرده است. همچنین در مقایسه با EVA، کوپلیمر SEBS نقش بهتری در سازگارسازی آمیخته HIPS/HDPE دارد که ناشی از وجود دسته های اتیلن و استیرن در ساختار کوپلیمر SEBS است. Bousimina و همکاران او [۳۱] عقیده دارند که با اضافه کردن کوپلیمر SEBS به آمیخته پلی استیرن - پلی اتیلن، اندازه ذرات فاز پراکنده و کشش بین سطحی تا ۵ مرتبه کاهش می یابد. مطالعه Yang و همکاران او [۲۴] نیز دلالت بر آن دارد که افزودن کوپلیمر SEBS به این آمیخته باعث کاهش اندازه ذرات فاز پراکنده از حد میکرون به زیر میکرون می شود.

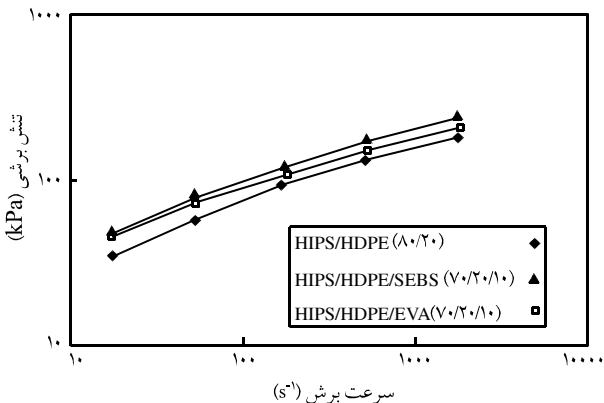
بطور کلی، پژوهشگران مختلف [۱۴، ۱۹، ۲۴، ۳۱] معتقدند که استفاده از کوپلیمر استیرن - اتیلن - بوتیلن - استیرن در آمیخته پلی اتیلن - پلی استیرن باعث کوچکتر شدن اندازه ذرات و توزیع یکنواخت فاز پراکنده، کاهش کشش سطحی، افزایش چسبندگی بین فازها و پایداری شکل شناسی آمیخته می شود.

نتیجه گیری

در این پژوهش رفتار رئولوژیکی آمیخته های ساده و سازگار شده HIPS با دو نوع HDPE مورد مطالعه قرار گرفت و نتایج زیر حاصل شد:

- رفتار کلی هر دو دسته از آمیخته های ساده-۱ HIPS/HDPE-۲ و HIPS/HDPE-۳ مشابه هم بوده و نمودارهای جریان آمیخته ها بین نمودارهای مربوط به پلیمرهای خالص قرار می گیرند.
- روند تغییرات نمودارهای جریان آمیخته های سازگار نشده بیانگر آن است که این آمیخته ها از معادله توانی تعیت می کنند با این وجود، با افزایش درصد پلی اتیلن، رفتار آمیخته-۱ HIPS/HDPE به رفتار سیالات نیوتونی نزدیکتر می شود.

- برای هر دو دسته از آمیخته های سازگار نشده، انحراف منفی نسبت به قانون مخلوطها مشاهده می شود و اغلب روابط تجریبی مورد بررسی در این پژوهش نمی توانند نتایج تجربی را پیش بینی کند.
- نمودارهای جریان آمیخته های سازگار شده به وسیله افروزن HIPS کوپلیمرهای SEBS و EVA، بین نمودارهای جریان HIPS و HDPE کوپلیمر می گیرند (مشابه با آمیخته های سازگار نشده).
- سازگارسازی آمیخته ها باعث افزایش مقدار نتش برشی، گرانزوی و کاهش مقدار انحراف منفی می شود. کوپلیمر SEBS نقش بهتری در سازگارسازی آمیخته HDPE/HIPS داشته و استفاده از آن باعث تغییر رفتار آمیخته از انحراف منفی به انحراف مثبت می شود.



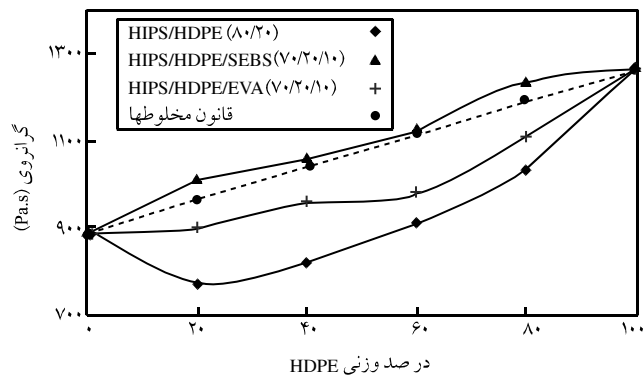
شکل ۱۲- تغییرات نتش برشی - سرعت برش آمیخته های سازگار شده.

برشی برای کوپلیمر SEBS به مراتب بیشتر از مقدار مربوط به کوپلیمر EVA است.

در شکل ۱۳ تغییرات گرانزوی - ترکیب درصد آمیخته های سازگار شده و آمیخته ساده-۲ HIPS/HDPE در سرعت برش 100 s^{-1} با قانون مخلوطها مقایسه شده است. با توجه به این شکل، در اثر اضافه کردن سازگار کننده ها، مقادیر گرانزوی آمیخته ها افزایش یافته و مقدار انحراف منفی نسبت به قانون مخلوطها کاهش پیدا می کند. اضافه کردن ۱۰ درصد وزنی از کوپلیمر استیرن - اتیلن - بوتیلن - استیرن نه تنها موجب افزایش گرانزوی، بلکه باعث تغییر رفتار آمیخته از نوع انحراف منفی به انحراف مثبت می شود.

بطور کلی، در دو دسته از آمیخته های پلیمری انحراف مثبت از قانون مخلوطها مشاهده می گردد. اولین گروه آمیخته های امتزاج پذیری هستند که بین اجزای آنها اثرات متقابل ویژه ای وجود دارد. دسته دوم آمیخته های امتزاج ناپذیری هستند که سازگاری خوبی در آنها ایجاد شده و رفتاری شبیه امولسیونها دارند [۳۵].

با توجه به انحراف مثبت مشاهده شده برای آمیخته HIPS/HDPE



شکل ۱۳- تغییرات گرانزوی - ترکیب درصد آمیخته های سازگار شده.

مراجع

1. Brenda C., Environmental Stress Cracking Resistance of HIPS, *US Pat. 5,543,461*, 1996.
2. Mittnack H., Impact-Resistant Thermoplastic Molding Compositions with Increased Stress Crack Resistance, *US Pat. 4,144,204*, 1979.
3. Sheu H.R., High Impact Resistant, High Gloss, and High Environmental Stress Crack Resistant Thermoplastic Manufactured Articles, *US Pat. 6,027,800*, 2000.
4. Fasulo G.C., Blends Based on Vinyl-aromatic Polymers Endowed with High Tenacity and Chemical Resistance, *US Pat. 4,939,207*, 1990.
5. Cho G.Y., Kim H.G. and Kim Y.H., The Rheological Behavior of Immiscible Polymer Blends, *J. Appl. Polym. Sci.*, **86**, 917-924, 2002.
6. Sombatsompop N., Extrudate Swell and Texture of PS, LDPE, ABS, PVC Melts and Their Blends in Extrusion Capillary Flow Using a Magnetic Die, *J. Appl. Polym. Sci.*, **86**, 509-517, 2002.
7. Mekhilef N., Carreau P.J. and Favis B.D., Viscoelastic Properties and Interfacial Tension of Polystyrene-Polyethylene Blends, *J. Polym. Sci., Polym. Phys. Ed.*, **38**, 1359-1368, 2000.
8. Xu B., Simonsen J. and Rochefort W.E., Mechanical Properties and Creep Resistance in Polystyrene/Polyethylene Blends, *J. Appl. Polym. Sci.*, **76**, 1100-1108, 2000.
9. Bartczak Z., Krasnikova N.P. and Galeski A., Morphology and Texture of HDPE-PS Blends Deformed by Plane-Strain Compression, *J. Appl. Polym. Sci.*, **62**, 167-179, 1996.
10. Luciani A., Champagne M.F. and Utracki L.A., Interfacial Tension Coefficient from the Retraction of Ellipsoidal Drops, *J. Polym. Sci., Polym. Phys. Ed.*, **35**, 1393-1403, 1997.
11. Fortelny I. and Michalkova J., Effect of Styrene-Butadiene Copolymer on the Phase Structure and Impact Strength of PE/HIPS Blends, *J. Appl. Polym. Sci.*, **81**, 570-580, 2001.
12. Tjong S.C. and Xu S.A., Impact and Tensile Properties of SEBS Compatibilized PS/HDPE Blends, *J. Appl. Polym. Sci.*, **68**, 1099-1108, 1998.
13. Harrats C., Fayt R., Jerome R. and Blacher S., Stabilization of a Cocontinuous Phase Morphology by a Tapered Diblock or Triblock Copolymer in Polystyrene-rich LDPE/PS Blends, *J. Polym. Sci., Polym. Phys. Ed.*, **41**, 202-216, 2003.
14. Abis L., Abbondanza L. and Braglia R., Syndiotactic Polystyrene/High-Density Polyethylene Blends Compatibilized with SEBS Copolymer: Thermal, Morphological, Tensile, Dynamic-Mechanical and Ultrasonic Characterization, *Macromol. Chem. Phys.*, **201**, 1732-1741, 2000.
15. Xu S.A. and Tjong S.C., Deformation Mechanisms and Fracture Toughness of PS/HDPE Blends Compatibilized by Triblock Copolymer, *J. Appl. Polym. Sci.*, **77**, 2024-2033, 2000.
16. Tjong S.C., Xu S.A. and Li R.K.Y., Work of Fracture of PS/HDPE Blends Compatibilized by Triblock Copolymer, *J. Appl. Polym. Sci.*, **77**, 2074-2081, 2000.
17. Bartczak Z., Galeski A. and Puta M., Ternary Blends of HDPE-PS-Poly(ethylene/butylenes-*b*-styrene) Copolymers: Properties and Orientation Behavior in Plane-Strain Compression, *J. Appl. Polym. Sci.*, **76**, 1746-1761, 2000.
18. Xu S.A., Xie J.W. and Jiang M., Morphology and Deformation of Compatibilized PS/LDPE Blends, *Polym. Int.*, **48**, 1121-1128, 1999.
19. Mekhilef N., Favis B.D. and Carreau P.J., Morphological Stability, Interfacial Tension, and Dual-Phase Continuity in Polystyrene-Polyethylene Blends, *J. Appl. Polym. Sci., Polym. Phys. Ed.*, **35**, 293-308, 1997.
20. Castelien J., Polymeric Materials Consisting of a Mixture of HIPS, HDPE and a Styrene Diblock Copolymer, *US Pat. 4,548,988*, 1985.
21. Asira C. and Suda K., Compatibilization of HIPS/HDPE Blends by a SEBS Block Copolymer, *J. Appl. Polym. Sci.*, **91**, 742-755, 2004.
22. Fortelny I., Hlavata D., Mikesora J., Michalkova D., Potrokova L. and Sloufova, I. Effect of Molecular Structure of Styrene-Butadiene-Butadiene Block Copolymer on Morphology, Rheological Properties, and Impact Strength of Polystyrene/ Polyethylene Blends, *J. Appl. Polym. Sci.*, **90**, 2303-2309, 2003.
23. Fortelny I., Hlavata D., Mikesova J., Michalkova D., Potrokova L. and Sloufova, I. Effect of Mixing Conditions on the Morphology and Properties of PS/PE Blends Compatibilized with Styrene-Butadiene Block Copolymers, *J. Polym. Sci., Polym. Phys. Ed.*, **41**, 609-622 , 2003.
24. Yang L.Y., Smith T.G.X and Bigio D., Melt Blending of LDPE/PS in a Haake Internal Mixer, I. Compatibilization and Morphology Development, *J. Appl. Polym. Sci.*, **58**, 117-127, 1995.

25. Yang L.Y., Smith T.G.X and Bigio D., Melt Blending of LDPE/PS in a Haake Internal Mixer, II. Morphology-Processing Relationships, *J. Appl. Polym. Sci.*, **58**, 129-141, 1995.
26. Feng H., Tian J. and Ye C., Compatibilization Effect of Graft Copolymer in Immiscible Polymer Blends, II. LLDPE/PS/LLDPE-g-PS Systems, *J. Appl. Polym. Sci.*, **61**, 2265-2271, 1996.
27. Sun J.J. and Baker W.E., Polyolefin/Polystyrene *In situ* Compatibilization Using Fridel Crafts Alkylation, *J. Appl. Polym. Sci.*, **65**, 1385-1393, 1997.
28. Barentsen W.M. and Heikens D., Mechanical Properties of PS/LDPE Blends, *Polymer*, **14**, 579-583, 1973.
29. Gao Y., Huang H., Yao Zh., Shi D., Ke Zh. and Yin J., Morphology, Structure, and Properties of *In situ* Compatibilized LLDPE/PS and LLDPE/HIPS Blends, *J. Polym. Sci., Polym. Phys. Ed.*, **41**, 1837-1849, 2003.
30. Chen G., Guo S. and Li H., Ultrasonic Improvement of the Compatibility and Rheological Behavior of HDPE/PS Blends, *J. Appl. Polym. Sci.*, **86**, 23-32, 2002.
31. Bousmina M., Bataille P., Sapieha S. and Schreiber H.P., Comparing the Effect of Corona Treatment and Block Copolymer Addition on Reological Properties of Polystyrene/ Polyethylene Blends, *J. Rheol.*, **39**, 499-517, 1995.
32. Xu S.A., Zhu L., Xie J.W. and Jiang M., Melt Rheology of Compatibilized PS/LDPE Blends, *Polym. Int.*, **48**, 1113-1120, 1999.
33. Brahimi B., Ait-kadi A.J., Ajji A. and Jerome R., Rheological Properties of Copolymer Modified Polyethylene/Polystyrene, *J. Rheol.*, **35**, 1069-1091, 1991.
34. Dealy J.M. and Wissbrun K.F., *Melt Rheology and its Role in Plastics Processing*, Chapman and Hall, London, 298-305, 1996.
35. Utracki L.A., *Polymer Alloys and Blends : Thermodynamics and Rheology*, Hanser, Munich, 171-181, 1989.
36. Utracki L.A., On the Viscosity-Concentration Dependence of Immiscible Polymer Blends, *J. Rheol.*, **35**, 1615-1637, 1990.
37. Singh R.P., Das C.K. and Mustafi S.K., *Polymer Blends and Alloys*, ABP, New Delhi, 91, 2002.
38. Vinogradov G.V. and Malkin A.Y., *Rheology of Polymers: Viscoelasticity and Flow of Polymers*, Mir, Moscow, 404-405, 1980.